

# 实验室 EXAFS 测量中单色器晶体 二级衍射的应用\*

王文采 杨春来 陈玉

北京大学物理系, 北京, 100871

1989年12月4日收到

本文研究了实验室 EXAFS 测量中, 应用单色器晶体二级衍射的有关问题。当测定的能量范围内, X 射线连续谱上存在杂质发射线时, 将导致测定吸收谱精细结构的畸变。研究了对这种谱线畸变进行修正的方法。并对采用晶面二级衍射测定时, EXAFS 谱振幅降低的情况下如何求得正确的结构参数进行了讨论。

PACC: 7870D; 6110F; 0785

## 一、引言

尽管 EXAFS 的大部分研究工作是利用同步辐射源进行的, 但是, 采用实验室方法测定 EXAFS 谱, 由于设备较简单、使用方便等优点, 在 EXAFS 研究中仍受到重视<sup>[1,2]</sup>。实验装置和实验方法也在不断改进和完善。

实验室 EXAFS 装置必须解决的一个重要问题是 X 射线连续谱中杂质发射线的干扰问题。在通常的测量中, 采用双探测器或试样摆进/摆出光路的方法可以妥善地解决这种干扰<sup>[3,4]</sup>。然而, 当测定吸收谱的能量范围处于较高的能量值(例如, 12—20keV)时, 要求单色器晶体的衍射面具有较小的晶面间距值。此外, 测定 EXAFS 谱的分辨率随所用单色器晶体晶面间距的减小而增大<sup>[5]</sup>。相应于小的晶面间距值的一种方法是利用晶面的高级衍射, 通常为二级衍射。但是, 利用晶面的高级衍射测定吸收谱时, 对连续谱中发射线的干扰, 上述两种方法都不能消除。

本文利用实验室李晶 EXAFS 谱仪, 通过采用 Si(220) 晶面的一级和二级衍射对几种试样 K 系 X 射线吸收谱的测定, 研究了二级衍射测定 EXAFS 谱及数据处理的有关问题。提出了一种对吸收谱精细结构畸变进行修正的方法, 并讨论了如何由二级衍射测定的 EXAFS 谱求得正确的结构参数的问题。

## 二、理论依据

采用晶面的高级衍射测定吸收谱时遇到的问题, 与利用晶面的一级衍射测定吸收谱

\* 国家自然科学基金资助的课题。

高次谐波的影响有类似之处。即待测信息由某一级衍射获得，必须消除其他级衍射的影响。例如，对于通常采用晶面的一级衍射进行测量来说，当存在高次谐波时，需要对测定的 EXAFS 谱振幅的降低进行修正；或者通过一定的实验手段，如降低管压或利用探测线路中的脉冲分析器等方法，消除或尽量减少高次谐波的影响<sup>[6]</sup>。然而，当测定的能量范围内连续谱上存在杂质发射线时，还将引起采用晶面高级衍射测定的吸收谱精细结构相当大的畸变。

下面仅以二级衍射的情况为例加以说明。

根据 X 射线吸收定律，透射法测定吸收系数时

$$\mu_m(E)x = \ln \frac{I_{0m}(E)}{I_m(E)}. \quad (1)$$

式中  $I_{0m}(E)$  和  $I_m(E)$  分别为对应能量  $E$  处入射 X 射线和经试样吸收后测定的射线强度， $\mu_m(E)$  为试样 X 射线吸收系数的测量值， $x$  为试样厚度。

当实验上采用晶面的二级衍射测定强度时，探测器放置在接收相应能量  $E$  的射线发生二级衍射的角位置，因而，同时接收到能量低一倍的射线产生的一级衍射线。即对应于探测器的角位置  $2\theta$ ，测定的吸收系数  $\mu_m(E)$  为

$$\mu_m(E)x = \ln \frac{I_{0m}(2\theta)}{I_m(2\theta)} = \ln \frac{I_{0m}^{(2)}(E) + I_{0m}^{(1)}(E/2)}{I_{0m}^{(2)}(E)e^{-\mu(E)x} + I_{0m}^{(1)}(E/2)e^{-\mu_1(E/2)x}}. \quad (2)$$

式中  $\mu(E)$  和  $\mu_1(E/2)$  分别为对应能量  $E$  和  $E/2$  处试样的真实吸收系数。强度上标括号中的数字表示衍射级次。

引入  $\alpha(E) = I_{0m}^{(1)}(E/2)/I_{0m}^{(2)}(E)$ ，其表示测定入射线强度时，对应探测器一定的角位置，测定强度中一级衍射与二级衍射强度之比。因而(2)式可改写为

$$\mu_m(E)x = \ln \frac{1 + \alpha(E)}{e^{-\mu(E)x} + \alpha(E)e^{-\mu_1(E/2)x}}. \quad (3)$$

在吸收限的高能侧，随着能量的增加吸收系数  $\mu(E)$  存在精细结构。即相对于单调变化的孤立原子的吸收系数  $\mu_0(E)$ ， $\mu(E)$  出现起伏振荡。这种振荡的幅度很小，故可将  $\mu(E)$  在  $\mu_0(E)$  附近作泰勒展开，从而求得<sup>[6,7]</sup>

$$\begin{aligned} \delta(\mu_m x) &= \mu_m(E)x - \mu_{0m}(E)x, \\ \delta(\mu_m x) &\doteq \frac{\delta(\mu x)}{1 + \alpha(E)\exp\{[\mu_0(E) - \mu_1(E/2)]x\}}. \end{aligned} \quad (4)$$

式中下标  $m$  表示物理量的实验测定值。由此，即使试样的厚度适当，不存在厚度效应<sup>[7]</sup>，当采用晶面的二级衍射测定吸收谱时，测定的吸收限高能侧吸收系数振荡的幅度  $|\delta(\mu_m x)|$  比真实的振荡幅度  $|\delta(\mu x)|$  要小。其倍乘因子的最大值为

$$\frac{1}{1 + \alpha(E)\exp\{[\mu_0(E) - \mu_1(E/2)]x\}}.$$

据前述  $\alpha(E)$  的定义，其与单色器晶体和选用的晶面以及入射 X 光子的能量等有关。但是，吸收谱测定的能量范围仅为 1000 eV 左右，对于一定的衍射晶面，可视为常量  $\alpha_0$ 。然而，当连续谱中存在杂质发射线时，情况即大为不同。下面分两种情况讨论发射线对吸收谱测定的影响。一种情况为：在探测器测定的角度范围，连续谱的一级衍射谱中没有发

射线,而二级衍射谱中存在发射线。这时,在发射线处二级衍射的测量强度为:  $I_{0m}^{(2)}(E) = I_{0b}^{(2)}(E) + I_{0e}^{(2)}(E)$ ,  $I_{0b}^{(2)}(E)$ ,  $I_{0e}^{(2)}(E)$  分别表示发射线处背底和扣除背底后的测量强度。因此,在发射线处,一级衍射与二级衍射强度的比值  $\alpha''(E)$  应为

$$\alpha''(E) = \frac{I_{0m}^{(1)}(E/2)}{I_{0m}^{(2)}(E)} = \frac{\alpha_0}{1 + I_{0e}^{(2)}(E)/I_{0b}^{(2)}(E)}. \quad (5)$$

式中  $\alpha_0$  为无发射线处一级与二级衍射强度的比值。显见,即使发射线强度仍保持在测量系统的线性范围内,当存在发射线时,  $\alpha''(E)$  值将小于  $\alpha_0$  值,而且,随发射峰强度的变化而存在大的变化。另一种情况为: 在探测器测量的角度范围,连续谱的一级衍射谱中包含发射线,而二级衍射谱中没有发射线。与上同理,在一级衍射的发射线处,  $I_{0m}^{(1)}(E/2) = I_{0b}^{(1)}(E/2) + I_{0e}^{(1)}(E/2)$ , 因而,一级与二级衍射强度的比值  $\alpha'(E)$  为

$$\alpha'(E) = \alpha_0(1 + I_{0e}^{(1)}(E/2)/I_{0b}^{(1)}(E/2)). \quad (6)$$

$\alpha'(E)$  值大于  $\alpha_0$  值,并随发射峰强度变化而出现大的变化。

综上所述,由于测量的吸收系数振荡  $\delta(\mu_{mx})$  与真实的振荡  $\delta(\mu x)$  之间存在一个振幅减弱因子,该因子与  $\alpha(E)$  值有关。通常情况下,  $\alpha(E)$  值接近于一个常数  $\alpha_0$ ,只引起精细结构的振幅整体地缩小一定的比例。但是,当连续谱的一级或二级衍射存在发射线时,由于该处的  $\alpha'(E)$  或  $\alpha''(E)$  值出现大的变化,从而导致测定的精细结构产生畸变。

EXAFS 函数  $\chi(k)$  的定义为:  $\chi(k) = \frac{\mu(k) - \mu_0(k)}{\mu_0(k)}$ ,  $k = \sqrt{0.263(E - E_0)}$ , 为光电子波数,  $E_0$  为吸收的能量阈值。数据处理时,也可以取:  $\chi(k) = \frac{\mu(k) - \mu_0(k)}{\Delta\mu}$ ,  $\Delta\mu$  为吸收限处吸收系数的突变值。

由(4)式不难求得

$$|\chi_m(k)| = |\chi(k)| \frac{\Delta\mu x}{\Delta\mu_{mx}} \frac{1}{1 + \alpha_0 \exp\{[\mu_0(E) - \mu_1(E/2)]x\}}. \quad (7)$$

(7)式给出了  $\chi(k)$  按吸收限处吸收系数的突变值进行归一化时,利用二级衍射测定求得的 EXAFS 振幅  $|\chi_m(k)|$  与真实值  $|\chi(k)|$  之间的关系。 $|\chi_m(k)|$  将小于真实值。

### 三、实验方法与主要实验结果

实验在 kigaku RU-200 型 12kW 转靶 X 射线源和李晶 EXAFS 谱仪上进行。谱仪的聚焦圆半径为 320mm。连续谱由 Cu 靶产生,单色器晶体为 Si(220) 探测器为闪烁计数管。

实验测定了 5 种晶态试样: Ge, GeO<sub>2</sub> (金红石型), GaAs, Y<sub>2</sub>O<sub>3</sub> 和 YBa<sub>2</sub>Cu<sub>3</sub>O<sub>7-x</sub>, 分别采用 Si(220) 及其二级衍射 Si(440) 测定了试样中 Ge 和 Ga 的 K 吸收谱, Y 的 K 吸收谱是采用 Si(440) 测定的。

试样均由材料的细粉,过 300 目筛,均匀涂在高分子质的透明胶带上制成薄膜,这样的薄膜数层叠在一起,以获得最佳厚度。

吸收谱采用透射法测定。在 Si(220) 测定时,所用管压均不产生高次谐波,管流控

制在保证强度尽量大的条件下, 入射线强度  $I_0$  的最大值亦不超过  $4 \times 10^4$  cps (强度测量系统线性区上限)。入射狭缝选用  $1^\circ$  (一级衍射)或  $2^\circ$  (二级衍射); 接收狭缝为: 0.5mm (水平)和10mm(竖直)。利用试样摆进/摆出光路、阶梯扫描方式测定各点的强度。每个点的测量时间保证强度最小值处的总计数可达到  $n \times 10^4$ , 以保证计数的统计误差 $<1\%$ 。所有实验结果, 均由三次测量平均求得。

图1示出c-Ge和GeO<sub>2</sub>中利用Si(220)和Si(440)测定的Ge K吸收谱。图中同时给出了Si(440)测定时入射线强度t秒的总计数  $I_0 t$ 。

#### 四、数据处理及结果

当采用Si(440)测定Ge和Ga的K吸收谱时, 都存在连续谱上W的L系发射线二级衍射的干扰, 其中W L $\gamma_1$ 二级衍射的强度相当大, 导致所测定的Ge吸收谱精细结构的很大畸变。由图1可以明显看出, 无论c-Ge或GeO<sub>2</sub>中Ge的K吸收谱, 利用Si(220)和Si(440)的测定结果均存在差异。这种差异恰好出现在  $I_0$  上发射线的部位。由二级衍射Si(440)测定的吸收谱, 该处吸收系数变化的幅度增大, 吸收精细结构发生畸变。因此, 数据处理过程中必须首先对谱精细结构的畸变进行修正。

##### 1. 吸收谱结构畸变的修正

###### 1) $\alpha_0$ 值的确定

吸收限处吸收系数值发生突变。若吸收限处低能和高能侧实验测定的吸收系数分别为  $\mu_m^L x$  和  $\mu_m^H x$  时, 则据(3)式有

$$\mu_m^L x = \ln \frac{1 + \alpha_0}{e^{-\mu_1^L x} + \alpha_0 e^{-\mu_1^L x}},$$

$$\mu_m^H x = \ln \frac{1 + \alpha_0}{e^{-\mu_1^H x} + \alpha_0 e^{-\mu_1^H x}},$$

故

$$\Delta \mu_m x = \mu_m^H x - \mu_m^L x = \ln \frac{e^{-\mu_1^L x} + \alpha_0 e^{-\mu_1^L x}}{e^{-\mu_1^H x} + \alpha_0 e^{-\mu_1^H x}}. \quad (8)$$

式中上标  $H$ ,  $L$  分别表示吸收限高能和低能侧的吸收系数,  $\mu_1$  为相应于能量等于吸收限能量  $1/2$  处的吸收系数。 $\mu^L$ ,  $\mu^H$  和  $\mu_1$  均可由资料查出有关元素的对应值<sup>[8]</sup>。当测定试样的厚度后, 根据二级衍射测定吸收限处吸收系数的突变值  $\Delta \mu_m x$ , 代入(8)式即可求得  $\alpha_0$  值。

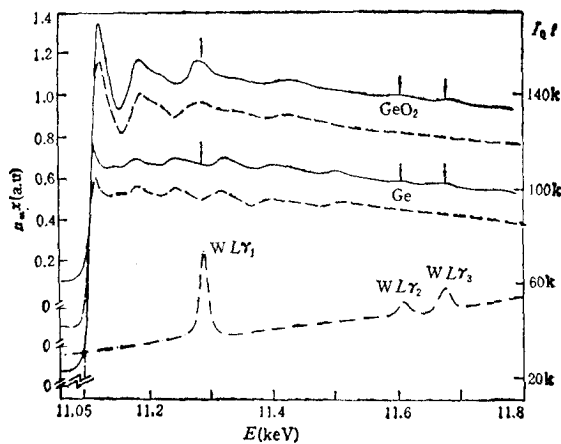


图1 c-Ge 和 GeO<sub>2</sub> 中 Ge 的 K 吸收谱  
—表示用 Si(440) 测定; --- 表示用 Si(220) 测定

## 2) 修正吸收谱结构畸变

吸收谱结构畸变出现在连续谱上发射线附近，其源于该处的倍乘因子  $\alpha'$  或  $\alpha''$  与  $\alpha_0$  发生大的偏离。例如，Si(440) 测定 Ge 的 K 吸收谱时，由于连续谱  $I_0$  上在  $2\theta$  为  $69.8^\circ$  附近存在  $WL\gamma_1$  的二级衍射， $67.6^\circ$  和  $67.16^\circ$  附近还有  $WL\gamma_2$  和  $L\gamma_3$  的二级衍射，在这些发射线附近的倍乘因子  $\alpha''(E)$  小于  $\alpha_0$ ，导致测定的吸收系数振荡的幅度增大。与其他处  $\alpha_0$  对吸收谱的影响对比，由(4)式可以导出，对处于  $I_0$  上发射线能量范围的吸收谱乘上修正因子  $A(E)$  应能消除该处的畸变。

$$\begin{aligned} A(E) &= \frac{1 + \alpha''(E) \cdot \exp[(\mu_0 - \mu_1)x]}{1 + \alpha_0 \exp[(\mu_0 - \mu_1)x]} \\ &= \frac{1 + \alpha''(E) \cdot \exp[(\mu^H - \mu_1)x]}{1 + \alpha_0 \exp[(\mu^H - \mu_1)x]}. \end{aligned} \quad (9)$$

求得  $\alpha''(E)$  后，即能获得  $A(E)$ ，按(5)式， $\alpha''(E)$  由  $\alpha_0$  和发射峰的峰形可以求得。应该注意，若发射线由二级衍射引起，则(5)式中的  $I_{0c}^{(2)}(E)$  不难得到，而发射线处的背底为  $I_{0b}^{(2)}(E)$  和  $I_{0m}^{(1)}(E/2)$  两部分的贡献。利用实验数据确定  $\alpha''(E)$ ，可将(5)式变换为

$$\alpha''(E) = \frac{\alpha_0}{[R + (R - 1)\alpha_0]}. \quad (10)$$

式中  $R = I_{0e}(E)/I_{0b}$ 。 $I_{0e}(E)$  和  $I_{0b}$  分别为发射峰处对应能量  $E$  处实验测定的强度和背底强度。

由确定的  $\alpha_0$  值，利用入射束  $I_{0m}$  发射线的峰形，对 Si(440) 测定的 c-Ge 和  $\text{GeO}_2$  中 Ge 的 K 吸收谱  $\mu_m x$  扣除吸收背底  $\mu_b x$  后，求得的  $\mu' x = \mu_m x - \mu_b x$  进行了修正。修正后的结果示于图 2。修正所用的参数为：对纯 Ge， $x = 12 \mu\text{m}$ ， $\alpha_0 = 0.071$ ；对  $\text{GeO}_2$ ， $x = 16 \mu\text{m}$ ， $\alpha_0 = 0.076$ 。与 Si(220) 测定的吸收谱对比，发射线引起的畸变已被修正。

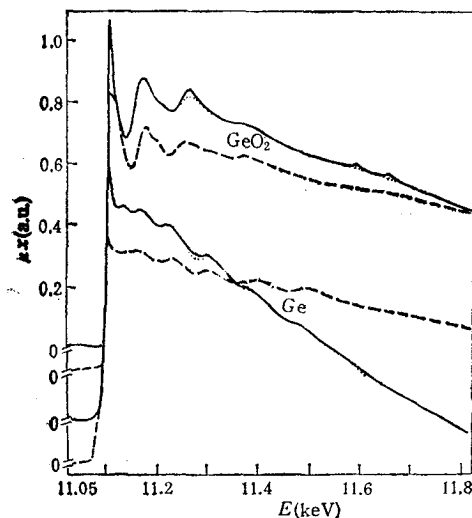


图 2 Si(440) 测定的 Ge K 吸收谱的畸变修正。修正前的谱为实线；修正后的谱为点线；虚线所示为 Si(220) 测定的相应结果，以便比较

## 2. 由 EXAFS 确定近邻结构参数

由吸收谱求 EXAFS 函数按通常的数据处理方法，即扣除背底，用三次样条函数法求  $\mu_0 x$ ，并按  $\Delta \mu x$  归一化<sup>[10]</sup>。将  $x(k)$  倍乘权重因子  $k^3$  及 Hanning 窗函数作傅氏变换求得径向结构函数后，对第一结构峰进行傅氏逆变换，得到吸收原子为中心最近邻配位层相应的  $\chi_1(k)$ 。根据  $\chi_1(k)$  的理论公式和 Teo 等人计算的原子背散射振幅及相移函数的理论值，用曲线拟合法求得近邻结构参数。在拟合时，并对造成测定的 EXAFS 振幅降低的一些因素，如多体效应<sup>[10]</sup>、分辨率的影响等进行了修正<sup>[11]</sup>。表 1 列出了有关结果。

表 1 列出的数据，利用 Si(440) 测定吸收谱而求得的近邻结构参数，由于存在 W 的

表 1 曲线拟合法确定的近邻结构参数

试样 参数	CN <sub>1</sub>	R <sub>1</sub> ( $\text{\AA}$ )	$\Delta\sigma^2(\text{\AA}^2)$	$\Delta E_0(\text{eV})$	Si(220) 衍射级次
c-Ge	3.9	2.44	0.0081	-4.83	1
	3.6	2.45	0.0074	5.77	2
$\text{GeO}_2$	5.7	1.85	0.0072	2.54	1
	5.5	1.87	0.0075	-5.10	2
$\text{GaAs}$	3.7	2.43	0.0086	-6.50	1
	3.5	2.44	0.0082	-7.02	2
$\text{YBa}_2\text{Cu}_3\text{O}_{7-x}$	8.3	2.40	0.0040	-14.0	2
$\text{Y}_2\text{O}_3^*$	6.0	2.28			2

\* 晶体学数据取自: M.G. Paton and E.N. Maslen, Acta Cryst., 19(1965), 307.

L系发射线的干扰,都是先对吸收精细结构的畸变作了修正以后求得的。与由 Si(220) 测定求得的结构参数相比,最近邻距的值非常相近,差别在误差范围  $\pm 0.02 \text{\AA}$  之内;而最近邻配位数的值,二级衍射获得的结果均偏小。二级与一级衍射测量所求得的配位数的比值,与根据(7)式计算得到的二级衍射测定的 EXAFS 振幅和真实值的比值相当接近。例如,对于 c-Ge,  $\alpha_0 = 0.071$ ,  $(\mu^H - \mu_1)x = 0.1243$ , 按(7)式计算得:  $|\chi_m|/|\chi| = 0.96$ 。而  $CN(2)/CN(1) = 0.92$ 。这样,采用晶面的二级衍射测量时,只要消除了吸收精细结构的畸变,振幅降低对确定配位数的影响,亦可以引入一个振幅衰减因子而得到修正。

$\text{YBa}_2\text{Cu}_3\text{O}_{7-x}$  中 Y 的 K 吸收谱亦是用 Si(440) 测定的,而其近邻结构参数则是以  $\text{Y}_2\text{O}_3$  作为标样求得。表 1 中给出的超导体中 Y 近邻 O 分布的结构参数与中子衍射测定的结果相符合<sup>[12]</sup>。由此表明,在相同的实验条件下,导致振幅降低的各种因素对试样和标样非常相近<sup>[10,11]</sup>,因而,通过振幅相比基本上可以消除。所以,采用晶面的二级衍射测定吸收谱时,只要标样选取适当,也可以求得正确的配位数值。

采用单色器晶体二级衍射测定吸收谱时,实验上可以利用探测线路中的脉冲高度分析器消除一级衍射的影响。我们通过调节脉高分析器的适当参数,用 Si(440) 测定了  $\text{GeO}_2$  中 Ge 的 K 吸收谱并作了数据处理,其有关结果与 Si(220) 的相应情况十分接近。

## 五、结 论

1. 当连续谱中存在杂质发射线时,采用单色器二级衍射测定的吸收谱精细结构在发射线处将产生畸变。这种畸变可以利用一级与二级衍射强度的比值  $\alpha_0$  及发射线的线形进行修正。

2. 用晶面的二级衍射测定吸收谱,有利于提高分辨率。由于同时存在一级衍射,将导致 EXAFS 振幅的降低。这种振幅的降低,使确定的配位数减小,可以通过相应的振幅衰

减因子加以修正。但是,利用适当的标样确定配位数时,则不受此影响。

- [1] K. Tohji, Y. Udagawa, T. Kawasaki and K. Masuda, *Rev. Sci. Instrum.*, 54(1983), 1482.
- [2] A. Balerna, R. Buschert, M. D. Giardina, D. Inzaghi and S. Mobilio, *Journal De Physique, Colloque C8*, supplément au n° 12, 47 (1986), C8-117.
- [3] 陆坤权等,物理,15(1986),299.
- [4] 王文采、陈玉,物理学报,36(1987),1033.
- [5] P. A. Lee, P. H. Citrin, P. Eisenberger and B. M. Kincaid, *Rev. Mod. Phys.*, 53(1981), 769.
- [6] 陆坤权、赵雅琴,常龙存,物理学报,33(1984),1693.
- [7] E. A. Stern and K. Kim, *Phys. Rev.*, B23(1981), 3781.
- [8] W. H. McMaster, N. Kerr Del Grande, J. H. Mallett and J. H. Hubbell, in "Compilation of X-Ray Cross Sections", Lawrence Radiation Laboratory UCRL-50174, Sec. 2, Rev., (1969).
- [9] E. A. Stern, D. E. Sayers and F. W. Lytle, *Phys. Rev.*, B11(1975), 4836.
- [10] E. A. Stern, B. A. Bunker and S. M. Heald, *Phys. Rev.*, B21(1980), 5521.
- [11] B. Lengeler and P. Eisenberger, *Phys. Rev.*, B21(1980), 4507.
- [12] J. E. Greedan, A. H. O'Reilly and C. V. Stager, *Phys. Rev.*, B35(1987), 8770.

## THE APPLICATION OF SECOND ORDER DIFFRACTION OF A MONOCHROMETER IN LABORATORY EXAFS MEASUREMENT

WANG WEN-CAI YANG CHUN-LAI CHEN YU

*Department of Physics, Peking University, Beijing, 100871*

(Received 4 December 1989)

### ABSTRACT

Some aspects on the application of second order diffraction of a monochromator in laboratory EXAFS measurement are studied. Significant distortions in measured X-ray absorption fine structure occur when there are impurities' emission lines on the continuum spectra in the investigated energy range. A method for correcting that distortion is proposed. As the EXAFS amplitude decreases, which is caused by the application of second order diffraction of a monochromator, how to obtain correct structural parameters is also discussed.

**PACC:** 7870D; 6110F; 0785